一般口演 | 医療アセスメント

一般口演3

医療経済・医療政策

2021年11月19日(金) 09:10 ~ 11:10 G会場 (2号館3階232+233)

[2-G-1-05] 受療人口重心とオープンデータを活用した構想区域における高度医療機器の配置の最適化の検討

*中村 敦^{1,2} (1. 医療データ分析ラボ, 2. 株式会社サンネット)

*Atsushi Nakamura^{1,2} (1. 医療データ分析ラボ, 2. 株式会社サンネット)

キーワード: Open data, Advanced medical device, Center of population receiving medical treatment, GIS

【目的】改正医療法に基づき都道府県毎に外来医療計画が策定され、高度医療機器等の医療資源を重点的に活用する外来を担う医療機関の明確化が進められている。これまで高度医療機器の構想区域内での配置の最適化を目指して受療人口重心とオープンデータを活用して検討を行ってきたが、今回、それに関わる医療従事者にも注目して分析を行った。

【方法】毎年、病床機能報告により報告される新入院患者数、高度医療機器の設置数や医療従事者数、並びに医療機能情報提供制度で報告される外来患者数や高度医療機器の検査件数などの各医療機関のデータを利用して、構想区域内での高度医療機器の分布状況等を重心分析により把握した。これに加え、医療機関での受療の可能性がある住民分布のバランス点である受療人口重心との距離と方位の比較分析をレーダーチャートを活用して図化すると共に、検査件数等を増減させるシミュレーションを行い、その変化を観察した。

【結果と考察】高度医療機器の分布重心、機器 1 台当たりの検査件数重心、医師数や診療放射線技師当たりの検査件数重心などの重心指標と受療人口重心とは、どの構想区域でも一致せずその度合も異なっていた。このことは現存の CT、 MRI等の設置状況・検査状況では地域住民の分布に即していないと考えられる。このことから現存の CT、 MRIの検査数や医療従事者の分布も踏まえたシミュレーションを行い、各重心指標を受療人口重心に近づけることで、機器配置や人員配置等の最適化が図れると考えられる。

【結語】高度医療機器の設置には多大な費用が必要であり、その運用にも人員が必要となっている。各医療機関にとっては、今後の病院運営上、設置・更新時期や要不要の検討は避られない問題となっている。これまでは医療機関単位での設置の検討が行われてきたが、今後は前述のシミュレーション等を活用して、地域全体での設置・更新を進めていくべきだと考える。

受療人口重心とオープンデータを活用した構想区域における高度医療機器の配置 の最適化の検討

中村 敦*1*2

*1医療データ分析ラボ,*2株式会社サンネット

Study on the optimization of advanced medical equipment allocation in the conceptual area using the center of gravity of the population receiving treatment and open data

Atsushi Nakamura *1*2

*1 Medical Data Analysis Labo., *2 Sunnet Corporation

Abstract:

The clarification of medical institutions responsible for outpatient care, where medical resources such as advanced medical devices are to be used intensively in outpatient care planning, is underway. In this study, we conducted an optimization simulation of the placement of advanced medical devices in the conceptual area using the center of gravity of the population receiving care. The distribution of advanced medical devices, the number of examinations per device, the number of examinations per number of doctors and radiologists, and other center-of-gravity indicators do not correspond to the center-of-gravity of the population receiving care, and the degree of deviation is different. By changing the number of images taken by a & dvanced medical equipment and the number of medical personnel, the gap between the center of gravity index and the center of gravity of the population receiving treatment can be reduced, and the placement of equipment and personnel can be optimized. Since the installation of advanced medical equipment requires a great deal of money and personnel, the timing of installation/renewal and the necessity of such equipment have been considered by individual medical institutions, but in the future, the installation/renewal of such equipment should be promoted for the entire region using the aforementioned simulation.

Keywords: Open data, Advanced medical device, Center of population receiving medical treatment, GIS

1. 目的

現在、団塊の世代がすべて 75 歳以上の後期高齢者となる 2025 年に向けて、都道府県毎に、安定した医療供給体制の 構築を目指した地域医療構想が策定されている。これにより 構想区域を基本単位とした医療の需要供給体制の現状把握 と将来的な医療需要を基とした高度急性期・急性期・回復 期・慢性期のそれぞれの機能別の必要病床数が示されてい る。これに伴い、それぞれの地域に見合った医療機能の見直 しを行い、構想区域内の医療機関が供給できる機能別入院 病床を確保する準備が始められている。このように地域医療 構想では入院機能を中心として調整が進められている。これ に対して、医療計画では、医療資源を重点的に活用する外 来を担う医療機関の地域毎の明確化の議論が進められてお り、その議論の中で「高額等の医療機器・設備を必要とする 外来」の類型化の話も出てきている。また、地域医療構想に 関するワーキンググループや医療従事者の需給に関する検 討会などでも同様に医療機器の効率的な活用の議論がなさ れている。

このようにそれぞれの構想区域での高度医療機器の分布 (設置状況)がこれからの地域の外来診療のひとつの鍵となる と考えられる。これまでこの高度医療機器の構想区域内での 配置について、設置している医療機関にとっても、受療する 地域住民にとっても最適となる状態を模索しようと、受療人口 重心とオープンデータを活用して検討を行ってきた。今回は、 高度医療機器の活用に関わる医療従事者に注目して分析を 行った。

2. 方法

2.1 分析対象データ並びに使用ソフトウェア

人口分布については 2015 年度の国勢調査 ¹⁾による 500m メッシュ人口分布データに対して、2018 年度推計の市町村別 性別年齢階級別の人口推計 ²⁾のデータを利用した補正をかけて、2019 年度データとした。

また、人口 10 万人当たりの病院・診療所の受療患者数から求められる入院並びに外来受療率は2017年度患者調査30 の性別年齢階級別都道府県別受療率を使用した。

これらに加え、高度医療機器(CT、MRI等)を設備している 医療機関と機器類の設置台数並びに実際の撮影に関わる医療従事者数(施設全体の医師数・診療放射線技師数)については広島県の2019年度病床機能報告 4)を使用し、それぞれの高度医療機器の撮影件数等は医療機能情報提供制度 (医療情報ネット)の広島県版の救急医療 NET HIROSHIMA⁵⁾の2019年度の公開情報を使用した。

データの集計・分析等には Microsoft Excel 2019 を、図化 については地理情報システム QGIS 3.16 Hannover⁶⁾を使用し、行政区分や構想区域区分は国土交通省の国土数値情報 ⁷⁾を利用した。

2.2 人口重心の算出式と各重心指標の算出

人口重心は人口の一人一人が同じ重さを持つと仮定して、その地域内の人口が全体として平衡を保つことのできる点を示しており、人口の分布平面のバランス点となる。この人口の分布位置を経度・緯度で表すことで、図1に示す重心の計算式 8)となる。分布位置が点ではなく、メッシュ等の区画(面)の場合には、その区画の中心点の経度・緯度で代表させる。また、人口を高度医療機器の台数や撮影数等に、分布を設置

位置(=医療機関住所)等に読み替えることで、それぞれの 重心を求めることができる。

 $x = \frac{\sum (w_i \times x_i \times \cos(y_i))}{\sum (w_i \times \cos(y_i))} \quad y = \frac{\sum (w_i \times y_i)}{\sum w_i}$

x,y :推計入院(外来)患者重心の経度,緯度

wi: i 区画の推計入院(外来)患者数xi, yi: i 区画の代表点の経度,緯度i区画: 対象領域内の1メッシュの各区画代表点はメッシュの中心点

1メッシュは500mまたは1km単位

各種重心 : CT・MRI・PETの設置(台数・検査数)重心等

推計入院(外来)患者重心 など

図1 各種重心の計算式

医療機関で受療する患者は地域の居住者全員ではなく、 実際にはその一部の住民のみである。この観点から、性別年 齢階級別の受療率を利用して、構想区域毎の 500m メッシュ 受療者数を算定し、それを受療人口とした。この受療人口を 利用して人口重心を計算し、この表記を"受療人口重心(P)" とした。

これと共に、各医療機関に設置された CT、MRI の設置位置(医療機関住所)、設置台数、撮影数、並びに1台当たりの撮影数を計算し、それぞれを構想区域単位での CT と MRI の"台数重心(I)"、"撮影重心(S)"、そして"1台撮影重心(U)"として表記することとした。

また、これに加えて、撮影に関与する医師と診療放射線技師の 1 人当たりの撮影数の重心の計算も行った。ただし、診療放射線技師は病院でも診療所でも専ら撮影に当たっているが、医師は病院では撮影指示のみと仮定し、診療所では撮影指示と共に実際の撮影に当たると仮定している。そのため、医師数当たりの撮影数の分母はそれぞれの施設の全医師数であるが、撮影者数当たりの撮影数の分母は病院では診療放射線技師数を診療所では診療放射線技師数としている。これによる医師数当たりの撮影数重心を"医師撮影重心(D)"とし、撮影者数当たりの撮影数重心を"撮影者撮影重心(R)"として表記することとした。

2.3 2点間距離並びに方位の算出

受療人口重心を起点とした台数重心、撮影重心並びに1 台撮影重心間の距離を地球の赤道半径 r=6,378.137km を半 径とする球体とした球面三角法(図 2)で計算し、距離比較を 行った。

 $d_{ij} = r \times \cos^{-1}(\sin(\delta_i) \times \sin(\delta_i) + \cos(\delta_i) \times \cos(\delta_i) \times \cos(\gamma))$

d_{ij} : 地点i,j 間の距離

r :地球の赤道半径 = 6378.137km

 x_i, y_i :地点i の経度,緯度 x_j, y_j :地点j の経度,緯度 γ, δ :経度,緯度のラジアン値

※地球の半径を上記とした、球面三角法にて算出。

図 2 経度緯度による 2 点間距離の計算式

この2点間距離に加えて、受療人口重心から台数・撮影・1

台撮影のそれぞれの重心への方向(方位角)を図3の計算式で算出した。

 $\Phi = 90 - atan2 \left(\sin(\Delta x), \cos(y_i) \times \tan(y_j) - \sin(y_i) \times \cos(\Delta x)\right)$ Φ :地点iからjへの方位角 (0度:北 90度:東 180度:南 270度:北) x_i, y_i :地点iの経度、緯度 x_j, y_j :地点jの経度、緯度 $\Delta x = x_j - x_i$ $atan2(x, y) = atan\left(\frac{y}{x}\right)$

図3 経度・緯度を利用した2点間の方位角の計算式

2.4 撮影数等の変化によるシミュレーション

CT 並びに MRI のそれぞれ1台当たりの撮影数には撮影技術等により多少の幅があると考えられる。

入院医療費を包括評価による「診断群分類に基づく DPC 制度 (DPC / PDPS) による定額算定方式」にて計算している DPC 対象病院となるためには表 1「DPC 対象病院・準備病院の要件」に示すように一定の要件を満たす必要がある。

表 1 DPC 対象病院・準備病院の要件

	DPC対象病院	DPC準備病院
1	下記を届出 ・一般病棟入院基本料の急性期一般入院 基本料 ・特定機能病院入院基本料 (一般病棟) ・専門病院入院基本料 (7対1、10対1) *救急医療管理加算の基準を満たしていることが望ましい	左記の基準を満たしている 又は 左記の基準を満たすための計画を策定
2	診療録管理体制加算を届出 * 診療録管理体制加算1が望ましい	左記の加算を届出又は同等の診療録管理 体制を有し、左記の基準を満たすための 計画を策定
3	DPC調査に適切に参加し、入院診療及 び外来診療データを提出	DPC調査に適切に参加し、入院診療 データを提出 * 外来診療データの提出が望ましい
4	「適切なコーディングに関する委員会」 以上開催※ *毎月開催が望ましい	(コーディング委員会)を設置し、年4回
(5)	③の調査で、適切なデータを提出し、かっ、調査期間1カ月当たりの「データ/病床」比が0.875以上	

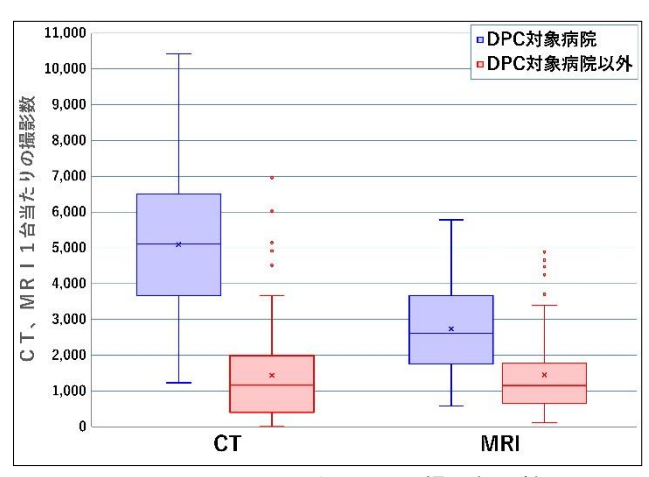


図 4 CT・MRI1台当たりの撮影数比較 (DPC 対象病院と DPC 対象病院以外:広島県)

また、高度医療機器(CT・MRI)の1台当たり撮影数についても DPC 対象病院とそれ以外の病院を比較すると、図4に示したとおり、DPC 対象病院での方がかなり多いことが判る。

これらのことから、DPC 対象病院では他の医療機関よりも撮影技術や撮影効率などが優れ、1台当たりの撮影数自体も多いと考えられ、同様に医師数当たりの撮影数、撮影者数当たりの撮影数も多いと考えられる。しかしながら、実際にはDPC 対象病院以外の医療機関よりも少ない病院も見受けられる。そのため、DPC 対象病院での医師数・撮影者数当たり 撮影数を広島県内の全医療機関の医師数・撮影者数当たり撮影数の平均値と比較して、それ以下ならば撮影数に平均値を当てはめるシミュレーションを行い、各重心位置の変化を観察した。

2.5 受療人口重心と各重心指標との距離と方位 の視覚化

構想区域単位で受療人口重心を起点とした CT・MRI 毎のの医師撮影重心、従事者撮影重心への距離と方位をレーダーチャート等で視覚化するとともに、構想区域間の状況の比較分析並びに前述のシミュレーション前後での比較分析を行った。

3. 結果

3.1 高度医療機器の分布と撮影数等

広島県全体の高度医療機器(CT・MRI)の分布と撮影数、並びに機器1と台当たりの撮影数について、地理情報システムで図化した(図5:地図化の一例)。その際、撮影数は、その数に応じた円で配置点上に表示した。

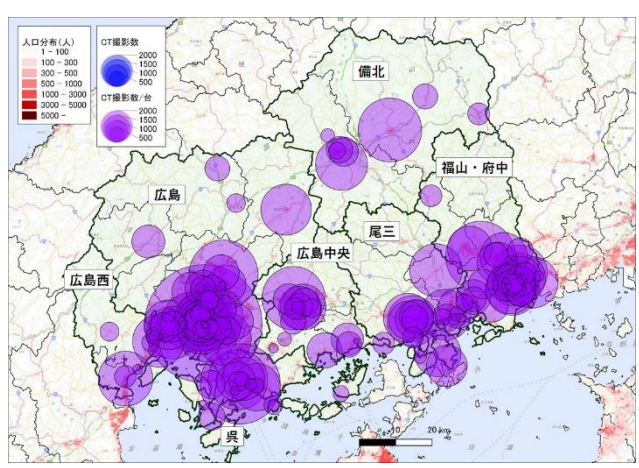


図 5 CT1 台当たりの撮影数の分布(広島県)

3.2 受療人口重心と高度医療機器の医師数並 びに従事者数当たりの重心間距離と方位 (現状・シミュレーション・差異)

広島県の構想区域毎の高度医療機器(CT・MRI)の分布とその撮影数と医師数・診療放射線技師数から、それぞれ医師数当たりの撮影数重心、従事者数当たりの撮影数重心を算出した。それを元に区域毎の受療人口重心を起点とした CT・MRI それぞれの医師数撮影重心、従事者数撮影重心との間の2点間距離と方位を算出した。(表 2,表 3,表 4,表 5:構想区域別受療人口重心を起点としたCT・MRI の医師数・従事者

数重心までの距離と方位(現状・シミュレーション・差異))

表 2 構想区域別受療人口重心を起点とした CT の医師数撮影重心までの距離と方位

	現状		シミュレーション		差異	
構想区域	距離 (km)	方位	距離 (km)	方位	距離 (km)	方位
広島	0.781	308° 13'18"	0.623	316 13'26"	-0.159	-007* 33'16"
広島西	1.575	325 02'10"	1.526	336° 34'05"	-0.049	-010 23'44"
呉	3.403	234` 20'46"	3.285	233 57'59"	-0.118	002* 18'45"
広島中央	9.992	144 27'55"	9.779	143 46'15"	-0.213	002* 14'09"
尾三	3.792	335` 35'13"	3.683	337 44'04"	-0.109	000° 40'43"
福山・府中	4.526	254` 33'31"	4.278	252 18'06"	-0.248	002 51'37"
備北	5.232	263 12'55"	5.350	261 40'32"	0.118	002 53'26"

表3 構構想区域別受療人口重心を起点とした CTの従事者数撮影重心までの距離と方位

	現状		シミュ	レーション	差異	
構想区域	距離 (km)	方位	距離 (km)	方位	距離 (km)	方位
広島	1.326	269 29'19"	1.170	275` 02'29"	-0.155	-005 28'11"
広島西	0.344	137 06'08"	0.344	137 06'08"	0.000	000 12'16"
呉	3.075	238' 08'37"	3.075	238 08'37"	0.000	000 17'14"
広島中央	5.563	137 47 45"	5.563	137 47'45"	0.000	001 35'29"
尾三	1.802	299 15'50"	1.791	299 14'31"	-0.011	000° 30'21"
福山・府中	3.417	258° 28'02"	3.285	255 19'02"	-0.132	003° 47'03"
備北	2.016	292° 27'52"	2.016	292° 27'52"	0.000	000 55'43"

表 4 構想区域別受療人口重心を起点とした MRI の医師数撮影重心までの距離と方位

	現状		シミュレーション		差異	
構想区域	距離	方位	距離	方位	距離	方位
	(km)		(km)		(km)	
広島	1.979	184° 46'12"	1.716	177 51'32"	-0.263	008° 37'44"
広島西	1.769	029` 17'32"	2.838	042 27'49"	1.069	-012 14'38"
呉	2.227	117 13'58"	1.426	123 02'22"	-0.801	-005* 43'39"
広島中央	0.754	311 39'37"	0.767	036° 55'58"	0.013	276° 35'35"
尾三	1.573	196° 25'10"	0.621	153° 47'03"	-0.952	044 12'12"
福山・府中	6.059	223 16'34"	4.958	220 03'53"	-1.101	003° 20'27"
備北	3.097	350 04'51"	3.122	274 43'02"	0.026	076° 47'52"

表 5 構構想区域別受療人口重心を起点とした MRI の従事者数撮影重心までの距離と方位

	現状		シミュレーション		差異	
構想区域	距離	方位	距離	方位	距離	方位
11-70 PE -90	(km)		(km)		(km)	
広島	2.191	212 45'43"	1.839	207 48'31"	-0.352	006' 34'14"
広島西	1.955	027 00'15"	2.155	031 08'44"	0.200	-003* 51'01"
呉	1.462	132° 35'02"	1.161	137 11'17"	-0.301	-004* 13'40"
広島中央	0.717	216° 33'40"	0.644	262° 11'38"	-0.073	-045* 14'41"
尾三	0.996	211 44'55"	0.492	196° 19'14"	-0.504	016 04'08"
福山・府中	1.607	189° 47'27"	1.586	184° 14'46"	-0.021	006 02'12"
備北	4.374	031 53'02"	2.085	009' 34'12"	-2.289	023 27'13"

3.3 受療人口重心と高度医療機器の医師数・従事者数撮影重心間距離のレーダーチャート

前出の表 2 から表 5 の CT 並びに MRI の医師数撮影重心と従事者撮影重心の算出結果を視覚化して構想区域圏間の比較検討ができるようにすることを目的に、受療人口重心からそれぞれの重心への距離を構想区域毎のグラフとして6要素のレーダーチャートを作成した。(図 6)

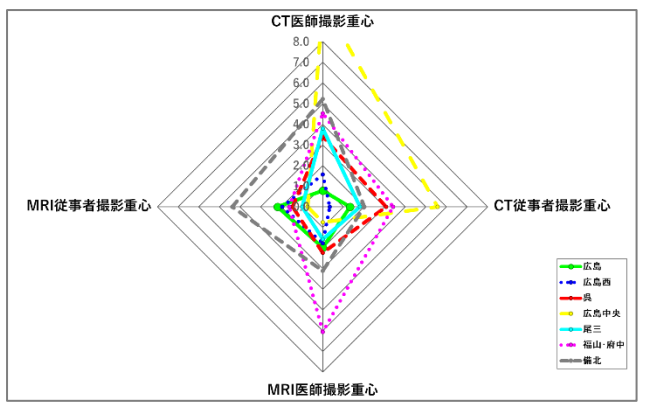


図 6 受療人口重心と CT・MRI 各重心間の距離[広島県]

このレーダーチャートでは、中心点が受療人口重心点となり、そこから各要素(各重心)への2点間距離を示している。図6にあるように、広島構想区域では各重心指標が他の構想区域と比較して受療人口重心に近いことが判る。これとは逆に広島中央構想区域ではCTの医師撮影重心・従事者撮影重心が受療人口重心から大きく離れていることが判る。

このように表 2 から表 5 のような単純な数値表だけでは判り にくいものも、このレーダーチャートを活用すれば構想区域間 の比較を行うことができる。

3.4 医師数・従事者数当たりの撮影数の変化によるシミュレーション

DPC 対象病院における CT 並びに MRI の医師数並びに 従事者数当たりの撮影数を広島県内の全医療機関の平均値 以上に設定するシミュレーションを行った。設置台数や設置 位置には変化しないものの、この撮影数の変化に伴い、CT では大きな変化は観られないが、MRI では医師数撮影、従 事者数撮影の各重心が移動し、重心間の距離の増減や重心 位置の変化が生じることになった(表 2,表 3,表 4,表 5)。

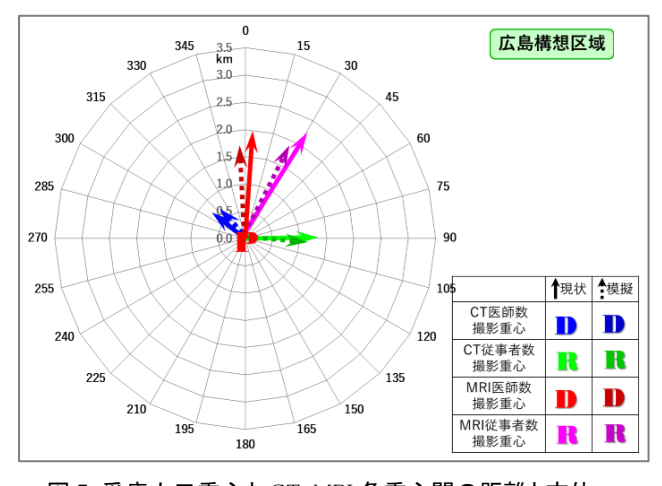


図 7 受療人口重心と CT・MRI 各重心間の距離と方位 (現状とシミュレーション) [広島構想区域]

これらのシミュレーション前後の重心間距離の増減と方位の変化について構想区域毎のレーダーチャート(方位図)として作成した(図 7:広島構想区域,図 8: 呉構想区域)。

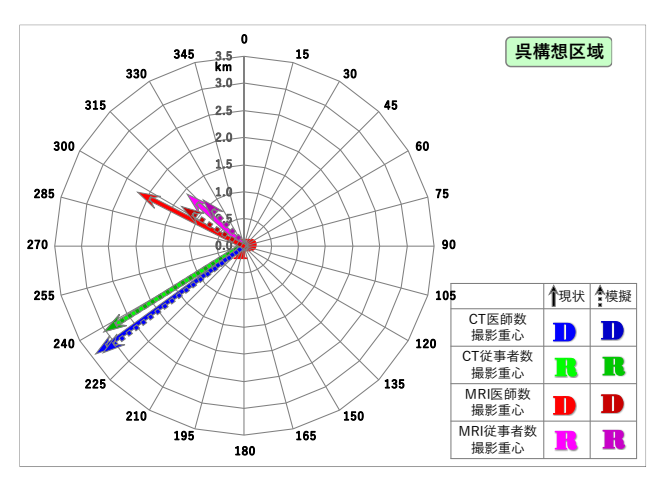


図8 受療人口重心と CT・MRI 各重心間の距離と方位 (現状とシミュレーション) [呉構想区域]

どちらのシミュレーション・レーダーチャートでも CT の医師数・従事者数重心などの距離も方位もほとんど変化はないが、MRI 側ではどちらの構想区域でも差が生じている。

4. 考察

人口重心の考え方は人口分布平面を1点で支えることのできるバランス点である。ただ人口の分布が地域全体に一様ではないことから、単純に位置が固定された重量点としての人口重心はその分布を代表させる 1 点であるとは言えるが、厳密には受療人口重心のように受療行動という移動を伴う場合のバランス点とはやや異なると考えられる。また、受療行動自体も状況に応じて、複数の医療機関での受療を行うこともあり、移動距離や移動時間も一様ではないと思われる。これらのことを考慮しつつ、受療人口重心については、比較のひとつの目安となる重心点として取り扱うこととしている。

これらを踏まえて、他の各重心に於いても同様の考え方となる。CT や MRI などの高度医療機器の設置されている医療機関を受療した患者は、その受療理由にもよるが、それら高度医療機器の被撮影機会を得ていることから、台数重心は被撮影機会のバランス点として考えることができる。同様に高度医療機器の撮影件数は実際の撮影実態を表しているので、撮影重心は撮影実態のバランス点として考えられる。これに加え、高度医療機器1台当たりの撮影数は撮影効率を表していることから、1台撮影重心は撮影効率のバランス点として考えることができる。

これに加えて、医療機関を受療した患者は、医師の指示により初めて CT、MRI 等の高度医療機器の被撮影機会を得ることができ、医療従事者(診療放射線技師或いは医師)により撮影されることとなる。

このことから、高度医療機器はその設置台数の確保だけではなく、撮影指示を行い、その撮影結果を活用できる医師と実際にその高度医療機器を操作して撮影を行う医療従事者の存在が必要不可欠であり、その配属も重要な要素となっている。

地域医療構想に関するワーキンググループの資料 ⁹⁾では CT 及び MRI の人口 10 万人当たりの保有状況は比較的増 加傾向にあり、今後もこの傾向か続いていくものと考えられる。 また、二次医療圏毎の CT、MRI の設置台数とその検査数に は、強い負の相関が認められており、人口当たりの設置台数 が多くなってくると、検査数が少なくなる=機器類の稼働が悪 くなるという状況になっている(図 9)。

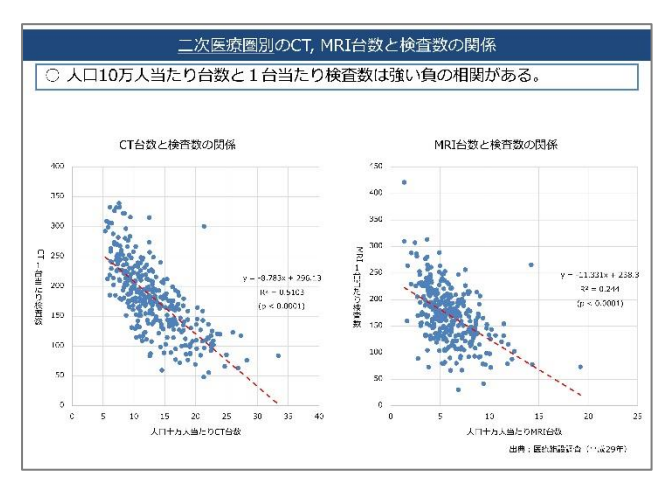


図 9 二次医療圏別の CT、MRI 台数と検査数の関係 9)

このように、二次医療圏(≒構想区域)内の CT・MRI の設置台数にはその受療患者規模等による上限があると思われ、 CT や MRI 以外の高額医療機器でも同様な状況となる可能性がある。

以前、演者は「オープンデータと人口重心を活用した構想 区域における高度医療機器の配置の妥当性の分析」¹⁰⁾にも 述べているが、各医療機関にとり、日々の診療に欠かせない 機器ではあるが、過剰な投資をすることで経営面での問題も 出てくることも考えられることから、各構想区域内で受療人口 重心と設置重心(撮影機会重心)、撮影重心(撮影実態重心)、そして1台撮影重心(撮影効率重心)との距離が最小と なるような高度医療機器の配置を設置場所等を変化させたシ ミュレーションを実施することで、地域住民にとっても、医療機 関にとっても高度医療機器の設置や利用に関して理想的な 配置を示すことができると思われる。

これらのシミュレーションの結果として、これらの高度医療機器の本体を、機器の不要地域から必要地域への移動(移設)も考慮せざるを得ない可能性もないとは言えない。

これに加えて、高度医療機器の機器そのものではなく、その撮影結果が医療上必要とする医師とその撮影結果を提供できる診療放射線技師についても同様なシミュレーションにより、配置バランスを検討できると考えられる。

5. 結語

高度医療機器の設置には多大な費用が必要であり、その運用にも人員が必要となっている。各医療機関にとっては、今後の病院運営上、設置・更新時期や要不要の検討は避られない問題となっている。これまでは医療機関単位での設置の検討が行われてきたが、今後は前述のシミュレーション等を活用して、地域全体での設置・更新を進めていくべきだと考える。これに加え、構想区域内の主力病院や医師会等との連携を進め、高度医療機器の撮影対象疾患等の詳細データ得て、より精密な分析研究を進めたいと考えている。

参考文献

- 1) 政府統計の窓口(e-stat). 平成 27 年国勢調査(500m メッシュ). 2015. [https://www.estat.go.jp/SG1/estat/toukeiChiri.do?method=init(cited 2021-Apr-15)]
- 2) 国立社会保障・人口問題研究所. 日本の地域別将来推計人口 (平成 30(2018)年推計. 2018. [http://www.ipss.go.jp/pp-shicyoson/j/shicyoson18/t-page.asp(cited 2021-Apr-15)]
- 3) 政府統計の窓口(e-stat). 平成 29 年患者調査. 2017. [https://www.e-stat.go.jp/stat-search/database?page=1&toukei=00450022&tstat=00000103116 7(cited 2021-Apr-15)]
- 4) 広島県. 令和元年度病床機能報告結果. 2021. [https://www.pref.hiroshima.lg.jp/soshiki/64/reiwa01.html (cited 2021-lun-05)]
- 5) 広島県.救急医療 NET HIROSHIMA.2021

[http://www.qq.pref.hiroshima.jp/qq34/qqport/kenmintop/(cited 2021-Feb-12)].

- 6) QGIS. フリーでオープンソースの地理情報システム. 2021. [https://www.qgis.org/ja/site/(cited 2021-Jul-08)]
- 7) 国土交通省. 国土数値情報 ダウンロードサービス. 2021. [http://nlftp.mlit.go.jp/ksj/(cited 2021-Jan-25)]
- 8) 三浦英俊. 緯度経度を用いた3つの距離計算方法. オペレーションズ・リサーチ 2015; Vol.60, No.12:701-705.
- 9) 第 18 回地域医療構想に関するワーキンググループ.資料 2 医療機器の効率的な活用等について.厚生労働省,2019.

[https://www.mhlw.go.jp/stf/newpage_03436.html(cited 2020-Jul-07)]

10) 中村敦. オープンデータと人口重心を活用した構想区域における高度医療機器の配置の妥当性の分析.第25回日本医療情報 学会・春期学術大会2021;OB11-01.